

# ZVS 위상천이 폴브리지 컨버터의 소신호 모델링 및 디지털 제어기 설계

김정우, 조영훈, 최규하  
 건국대 전력전자연구소

## ZVS Phase Shift Full-Bridge Converter's Small Signal Modeling and Digital Controller Design

Kim Jeong Woo, Younghoon Cho, Gyu Ha Choe  
 Power Electronics Lab., Konkuk Univ.

### ABSTRACT

In this paper, a zero voltage switching (ZVS) phase shift full bridge converter is analyzed. The small signal model is derived to design a digital controller. PLECS simulation shows how sampling method effects on transfer function of ZVS phase shift full bridge converter.

### 1. 서론

소형 ESS 시스템에서 배터리를 충전하기 위해서는 시스템의 입력을 저전압 대전류로 변환할 필요가 있다. 따라서 배터리 충전용 회로에 buck 컨버터 동작이 가능하고 소프트 스위칭으로 스위치 스트레스를 줄일 수 있는 ZVS 위상천이 폴브리지 컨버터를 사용할 수 있다. 제안된 컨버터는 변압기의 권선비를 이용하여 입력전압의 승압과 강압이 가능하다. 또한 변압기의 누설인덕턴스와 스위칭용 반도체 소자와 변압기내부의 기생커패시턴스 사이의 공진을 이용하여 별도의 스너버회로 없이도 소프트 스위칭을 할 수 있다.[1]

본 논문에서는 ZVS 위상천이 폴브리지 컨버터의 소신호 모델링을 통해 디지털 제어기 설계에 필요한 시스템의 전달함수를 얻고 샘플링 기법에 따른 전달함수의 변화를 비교한다. 샘플링 기법으로는 싱글 샘플링과 더블 샘플링을 이용한다.

### 2. 소신호 모델링

#### 2.1 변압기 2차측 듀티비에 영향을 끼치는 요소

ZVS 위상천이 폴브리지 컨버터의 변압기 2차측 듀티비에 영향을 끼치는 요소는 필터 인덕터 전류의 변동  $\hat{i}_L$ 과 입력전압의 변동  $\hat{v}_{in}$ 이 있다. 이 두 요소가 유효 듀티비  $\hat{d}_{eff}$ 에 미치는 영향은 식 (2.1)과 식 (2.2)와 같다.

$$\hat{d}_i = -\frac{R_d}{V_{in}} \hat{i}_L \quad (2.1)$$

$$\hat{d}_v = \frac{R_d I_L}{V_{in}^2} \hat{v}_{in} \quad (2.2)$$

여기서  $R_d = 4n^2 L_{lk} f_s$ 이다.

#### 2.2 buck-컨버터의 소신호 모델링

buck 컨버터의 입력전압과 전류를 각각  $v_1(t)$ ,  $i_1(t)$ 라고 하고 출력전압과 출력전류를  $v_2(t)$ ,  $i_2(t)$ 라고 했을 때 소신호 변동을 고려하여 전류 방정식과 전압 방정식을 구하면 식 (2.3)과 식 (2.4)와 같다.

$$\hat{i}_1(t) = D\hat{i}_2(t) + I_2\hat{d}(t) \quad (2.3)$$

$$\hat{v}_2(t) = D\hat{v}_1(t) + V_1\hat{d}(t) \quad (2.4)$$

위 식에 근거하여 buck 컨버터의 소신호 등가회로는 그림 1과 같다.

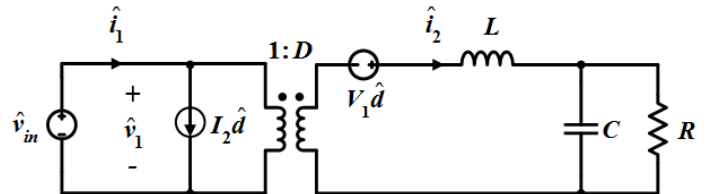


그림 1 buck컨버터 소신호 등가회로

Fig. 1 Small Signal Equivalent Circuit of Buck Converter

#### 2.3 ZVS 위상천이 폴브리지 컨버터의 소신호 모델링

buck 컨버터 소신호 모델은 ZVS 위상천이 폴브리지 컨버터의 소신호 모델에서  $L_{lk}$ 을 무시하고  $\hat{d}_i = \hat{d}_v = 0$ 인 경우이므로 buck 컨버터의 소신호 모델에서 제어입력  $\hat{d}$ 를 식 (2.5)의 유효 듀티비  $\hat{d}_{eff}$ 로 하고 변압비를 고려하면 그림 2와 같은 모델을 얻을 수 있다.

$$\hat{d}_{eff} = \hat{d} + \hat{d}_i + \hat{d}_v \quad (2.5)$$

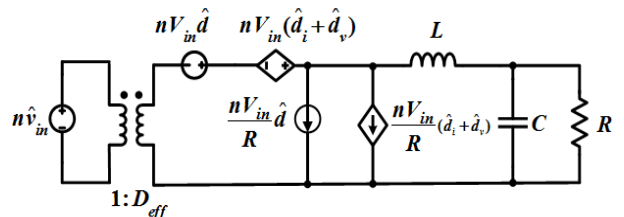


그림 2 ZVS 위상천이 폴브리지 컨버터의 소신호 등가회로

Fig. 2 Small Signal Equivalent Circuit of ZVS Phase Shift Full-Bridge Converter

## 2.4 전달함수

제어기를 설계하기 위해서는 시스템의 전달함수가 필요하다. 소신호 변동에 의한 임피던스 변화량을  $R_d$ 라고 하면 전달함수는 식(2.6)과 같이 쓸 수 있다.

$$G_p(s) = \frac{nV_{in}}{s^2LC + s\left(\frac{L}{R} + R_dC\right) + \frac{R_d}{R} + 1} \quad (2.6)$$

## 3.시뮬레이션

PLECS를 통한 시뮬레이션으로 샘플링 기법에 따른 ZVS 위상천이 폴브리지 컨버터의 전달함수 크기와 위상을 비교한다.

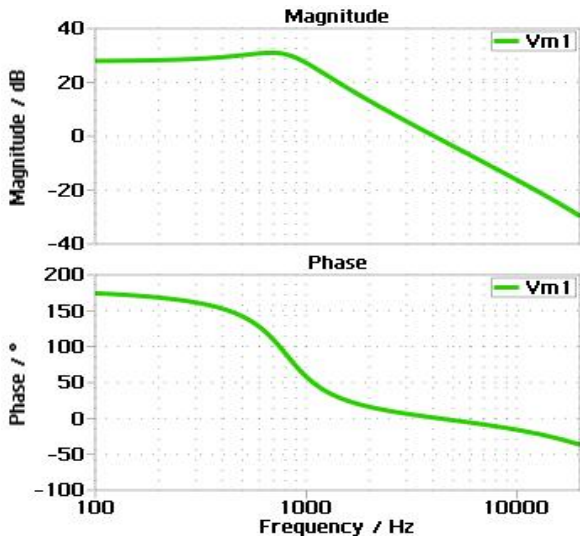


그림 3 ZVS 위상천이 폴브리지 컨버터의 전달함수 크기 및 위상의 아날로그 파형

Fig. 3 Analog Waveform of Transfer Function Magnitude and Phase of ZVS Phase Shift Full-Bridge Converter

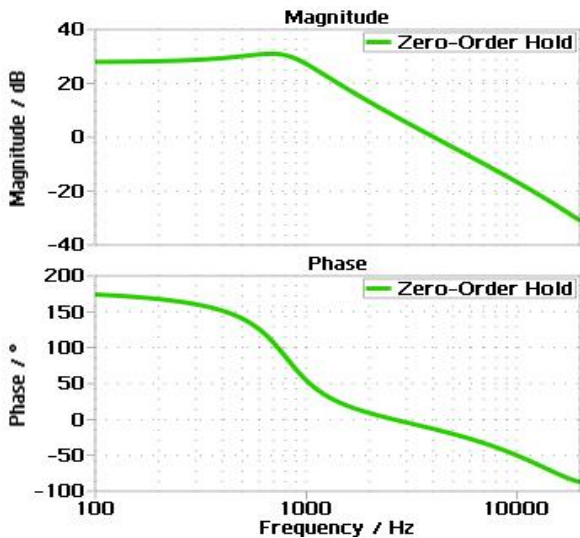


그림 4 싱글 샘플링으로 얻은 ZVS 위상천이 폴브리지 컨버터의 전달함수 크기 및 위상 파형

Fig. 4 Waveform of Transfer Function Magnitude and Phase of ZVS Phase Shift Full-Bridge Converter by Single Sampling

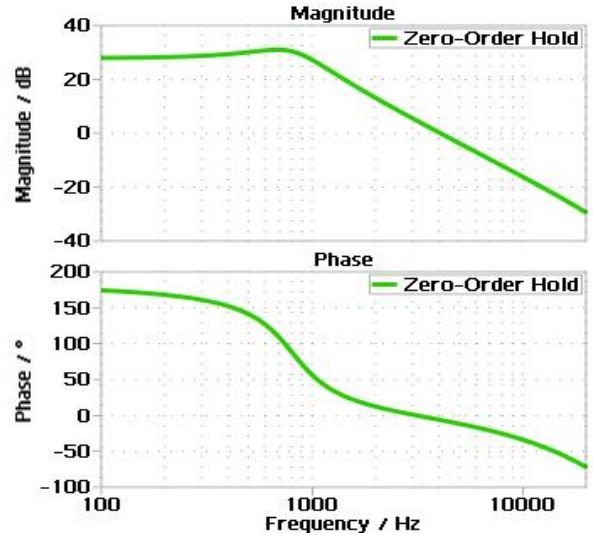


그림 5 더블 샘플링으로 얻은 ZVS 위상천이 폴브리지 컨버터의 전달함수 크기 및 위상 파형

Fig. 5 Waveform of Transfer Function Magnitude and Phase of ZVS Phase Shift Full-Bridge Converter by Double Sampling

싱글 샘플링으로 얻은 그림 4의 파형을 그림 3의 아날로그 파형과 비교해 보면 10[kHz] 전후로 그림 4의 전달함수의 크기와 위상이 줄어드는 것을 볼 수 있다. 이는 싱글 샘플링 기법에서 Pulse Width Modulation(PWM)을 위한 기준신호가 한 주기에 한 번만 갱신되면서 발생하는 오차에 의한 것이다. 이러한 오차는 한 주기에 기준신호를 두 번 갱신하는 더블 샘플링 기법을 사용함으로써 줄일 수 있다.[2]

더블 샘플링으로 얻은 그림 5의 전달함수를 그림 3과 비교하면 그림 4의 보다는 크기와 위상이 개선된 것을 볼 수 있다.

## 4.결론

본 논문에서는 ZVS 위상천이 폴브리지 컨버터의 시스템 전달함수를 소신호 모델링을 통해 구했고 싱글 샘플링과 더블 샘플링 기법에 따른 시스템 전달함수의 변화를 시뮬레이션을 통해 비교하였다.

본 논문은 중소기업청에서 지원하는 2013년도 산학연협력 기술개발사업(No. C0151283)의 연구수행으로 인한 결과물임을 밝힙니다.

## 참고 문헌

- [1] Choi, Eun Jin, "Voltage Controller Designing for Phase Shifted Full Bridge Converter", 2010, Feb.
- [2] David M., Van de Sype, "Small Signal Laplace Domain Analysis of Uniformly Sampled Pulse Width Modulators", 2004.